



Isı Transferi I

4. Uygulama

Arş. Gör. Şafak Metin KIRKAR

DOĞAL TAŞINIM

ÖRNEK 9-1

Sıcak Su Borularında Isı Kaybı

Şekil 9-16'da görülen 8 cm çaplı yatay sıcak su borusunun uzunluğu 6 m olan kısmı 20°C sıcaklığtaki geniş bir odadan geçmektedir. Eğer borunun dış yüzey sıcaklığı 70°C ise doğal taşınımıla borudan olan ısı kayıp hızını bulunuz.

ÇÖZÜM Yatay bir sıcak su borusu geniş bir odadan geçmektedir. Borudan doğal taşınımı meydana gelen ısı kayıp hızı bulunacaktır.

Kabuller 1 Sürekli işlem şartları söz konusudur. 2 Hava ideal bir gazdır. 3 Yerel atmosfer basıncı 1 atm'dır.

Özellikler $T_f = (T_s + T_\infty)/2 = (70 + 20)/2 = 45^\circ\text{C}$ film sıcaklığı ve 1 atm'de havanın özellikleri (Tablo A-15):

$$k = 0.02699 \text{ W/m}\cdot\text{K}$$

$$\text{Pr} = 0.7241$$

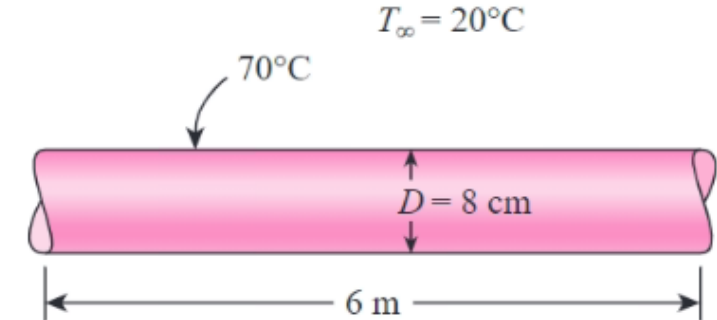
$$\nu = 1.750 \times 10^{-5} \text{ m}^2/\text{s}$$

$$\beta = \frac{1}{T_f} = \frac{1}{318 \text{ K}}$$

Cözümleme Bu durumda karakteristik uzunluk borunun dış çapıdır, $L_c = D = 0.08 \text{ m}$. Böylece Rayleigh sayısı,

$$\text{Ra}_D = \frac{g\beta(T_s - T_\infty)D^3}{\nu^2} \text{Pr}$$

$$= \frac{(9.81 \text{ m/s}^2)[1/(318 \text{ K})](70 - 20 \text{ K})(0.08 \text{ m})^3}{(1.750 \times 10^{-5} \text{ m}^2/\text{s})^2} (0.7241) = 1.867 \times 10^6$$
$$= 1.867 \times 10^6$$



ŞEKİL 9-16

Örnek 9-1 için şematik gösterim.

olur. Bu durumda doğal taşınım Nusselt sayısı Eş. 9-25 'ten,

$$\text{Nu} = \left\{ 0.6 + \frac{0.387 \text{Ra}_D^{1/6}}{[1 + (0.559/\text{Pr})^{9/16}]^{8/27}} \right\}^2 = \left\{ 0.6 + \frac{0.387(1.867 \times 10^6)^{1/6}}{[1 + (0.559/0.7241)]^{9/16}]^{8/27}} \right\}^2 \\ = 17.39$$

olarak bulunabilir. Böylece,

$$h = \frac{k}{D} \text{Nu} = \frac{0.02699 \text{ W/m}\cdot\text{K}}{0.08 \text{ m}} (17.39) = 5.867 \text{ W/m}\cdot\text{K}$$

$$A_s = \pi D L = \pi(0.08 \text{ m})(6 \text{ m}) = 1.508 \text{ m}^2$$

ve

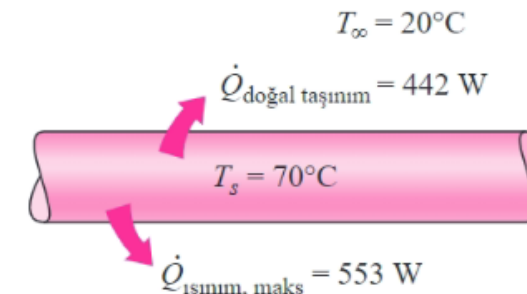
$$\dot{Q} = h A_s (T_s - T_\infty) = (5.867 \text{ W/m}^2\cdot\text{K})(1.508 \text{ m}^2)(70 - 20)^\circ\text{C} = 442 \text{ W}$$

olur. Böylelikle boru, doğal taşınımıyla odadaki havaya 442 W hızla ısı kaybeder.

Irdeleme Boru çevreye hem doğal taşınımıyla hem de ışınımla ısı kaybeder. Boru dış yüzeyinin kara (yayıcılığı $\varepsilon = 1$) ve oda duvarlarının iç yüzeyleri oda sıcaklığında olduğu kabul edilerek ışınımla ısı transferi (Şekil 9-17),

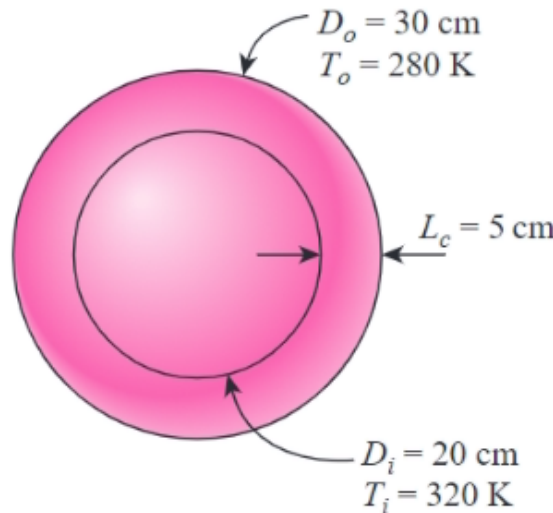
$$\begin{aligned} \dot{Q}_{\text{ışınım}} &= \varepsilon A_s \sigma (T_s^4 - T_{\text{çevre}}^4) \\ &= (1)(1.508 \text{ m}^2)(5.67 \times 10^{-8} \text{ W/m}^2\cdot\text{K}^4)[(70 + 273 \text{ K})^4 - (20 + 273 \text{ K})^4] \\ &= 553 \text{ W} \end{aligned}$$

olarak bulunur; bu değer doğal taşınımından daha yüksektir. Yayıcılığı 1 'den küçük olduğundan gerçek bir yüzey için ışınım ısı transferi daha az olacaktır. Fakat doğal taşınımı soğutulan çoğu sistemler için taşınım yine de etkili olur. Bu yüzden yüzeyin yayıcılığı düşük olmadıkça, normal olarak doğal taşınım çözümlemesi ışınım çözümlemesi ile birlikte gerçekleştirilmelidir.



ŞEKİL 9-17

İşinimla ısı transferi genellikle doğal taşınımıyla karşılaştırılabilir mertebededir ve ısı transfer çözümlemesinde dikkate alınmalıdır.



ŞEKİL 9–33

Örnek 9–5 için şematik gösterim.

ÖRNEK 9–5 Küresel Kapalı Bir Aralıkta Isı Transferi

Şekil 9–33 'te görüldüğü gibi çapları $D_i = 20 \text{ cm}$ ve $D_o = 30 \text{ cm}$ olan iki eş eksenli küre 1 atm basınçlı havayla ayrılmıştır. Havayı kuşatan iki kürenin yüzey sıcaklıklarını sırasıyla $T_i = 320 \text{ K}$ ve $T_o = 280 \text{ K}$ 'dir. Doğal taşınımıla, iç küreden dış küreye ısı transfer hızını bulunuz.

ÇÖZÜM Küresel bir kapalı aralığın iki yüzeyi belli sıcaklıklarda tutulmaktadır. Kapalı aralıktaki ısı transfer hızı belirlenecektir.

Kabuller 1 Sürekli işlem şartları söz konusudur. 2 Hava ideal bir gazdır. 3 İşinim ısı transferi dikkate alınmamaktadır.

Özellikler Havanın $T_{\text{ort}} = (T_i + T_o)/2 = (320 + 280)/2 = 300 \text{ K} = 27^\circ\text{C}$ ortalama sıcaklığı ve 1 atm 'deki özelliklerini (Tablo A–15):

$$k = 0.02566 \text{ W/m}\cdot\text{K} \quad \text{Pr} = 0.7290$$

$$\nu = 1.580 \times 10^{-5} \text{ m}^2/\text{s} \quad \beta = \frac{1}{T_{\text{ort}}} = \frac{1}{300 \text{ K}}$$

Çözümleme Hava ile dolu bir küresel bir kapalı aralık söz konusudur. Bu durumda karakteristik uzunluk iki küre arasındaki uzaklıktır:

$$L_c = (D_o - D_i)/2 = (0.3 - 0.2)/2 = 0.05 \text{ m}$$

Rayleigh sayısı,

$$\begin{aligned} \text{Ra}_L &= \frac{g\beta(T_i - T_o)L_c^3}{\nu^2} \text{Pr} \\ &= \frac{(9.81 \text{ m/s}^2)[1/(300 \text{ K})](320 - 280 \text{ K})(0.05 \text{ m})^3}{(1.58 \times 10^{-5} \text{ m}^2/\text{s})^2} (0.729) \\ &= 4.775 \times 10^5 \end{aligned}$$

olur. Etkin ısıl iletkenlik,

$$\begin{aligned} F_{\text{küre}} &= \frac{L_c}{(D_i D_o)^4 (D_i^{-7/5} + D_o^{-7/5})^5} \\ &= \frac{0.05 \text{ m}}{[(0.2 \text{ m})(0.3 \text{ m})]^4 [(0.2 \text{ m})^{-7/5} + (0.3 \text{ m})^{-7/5}]^5} = 0.005229 \end{aligned}$$

ile

$$\begin{aligned} k_{\text{etkin}} &= 0.74k \left(\frac{\text{Pr}}{0.861 + \text{Pr}} \right)^{1/4} (F_{\text{küre}} \text{Ra}_L)^{1/4} \\ &= 0.74(0.02566 \text{ W/m}\cdot\text{K}) \left(\frac{0.729}{0.861 + 0.729} \right)^{1/4} (0.005229 \times 4.775 \times 10^5)^{1/4} \end{aligned}$$

olarak bulunur. O zaman küreler arasındaki ısı transfer hızı,

$$\begin{aligned} \dot{Q} &= k_{\text{etkin}} \frac{\pi D_i D_o}{L_c} (T_i - T_o) \\ &= (0.1105 \text{ W/m}\cdot\text{K}) \frac{\pi (0.2 \text{ m})(0.3 \text{ m})}{0.05 \text{ m}} (320 - 280) \text{ K} = \mathbf{16.7 \text{ W}} \end{aligned}$$

olur. Dolayısıyla içteki küreden dıştaki küreye 16.7 W hızla ısı kaybolacaktır.
İrdeleme Dikkat edilirse doğal taşınım akımlarının bir sonucu olarak kürese kapalı aralıktaki hava, ısıl iletkenliği havanının $k_{\text{etkin}}/k = 0.1105/0.02566 = 4.3$ katı olan bir durgun akışkan gibi davranışır. Yine küreler arasındaki ışının ısı transferi genellikle önemlidir; bir toplam çözümlemede dikkate alınmalıdır.

9-44 Bir yüzünde 121 adet kare yonga içeren $30\text{ cm} \times 30\text{ cm}$ boyutlu bir devre kartı 25°C 'de bir oda sıcaklığında düşey bir yüzey üzerine monte edilerek birleşik taşınım ve ıshınım yardımı ile soğutulacaktır. Her yonga 0.05 W güç yaymakta ve yonga yüzeylerinin yayıcılığı 0.7 'dir. Devre kartının arka yüzeyinden olan ısı transferi ihmâl edilebilir, çevre yüzeylerin sıcaklığını odadaki hava sıcaklığı ile aynı kabul ederek yongaların yüzey sıcaklığını bulunuz. *Cevap: 36.2°C*

9-45 Devre kartının yatay pozisyonunda, (a) yongaların yukarı dönük (b) yongaların aşağı dönük olduğunu kabul ederek Prob. 9-44 'ü tekrarlayınız.

9-40 A circuit board containing square chips is positioned horizontally in a room. The surface temperature of the chips is to be determined for two orientations.

Assumptions 1 Steady operating conditions exist. 2 Air is an ideal gas with constant properties. 3 The local atmospheric pressure is 1 atm. 4 The heat transfer from the back side of the circuit board is negligible.

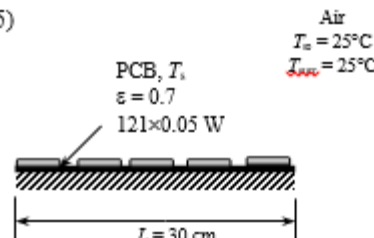
Properties The properties of air at 1 atm and the anticipated film temperature of $(T_s + T_w)/2 = (35+25)/2 = 30^\circ\text{C}$ are (Table A-15)

$$k = 0.02588 \text{ W/m} \cdot ^\circ\text{C}$$

$$\nu = 1.608 \times 10^{-5} \text{ m}^2/\text{s}$$

$$\Pr = 0.7282$$

$$\beta = \frac{1}{T_f} = \frac{1}{(30+273)\text{K}} = 0.0033 \text{ K}^{-1}$$



Analysis The solution of this problem requires a trial-and-error approach since the determination of the Rayleigh number and thus the Nusselt number depends on the surface temperature which is unknown. We start the solution process by “guessing” the surface temperature to be 35°C for the evaluation of the properties and h . The characteristic length for both cases is determined from

$$L_c = \frac{A_s}{p} = \frac{(0.3 \text{ m})^2}{2[(0.3 \text{ m}) + (0.3 \text{ m})]} = 0.075 \text{ m.}$$

Then,

$$Ra = \frac{g\beta(T_s - T_\infty)L_c^3}{\nu^2} \Pr = \frac{(9.81 \text{ m/s}^2)(0.00333 \text{ K}^{-1})(35-25 \text{ K})(0.075 \text{ m})^3}{(1.608 \times 10^{-5} \text{ m}^2/\text{s})^2} (0.7282) = 3.848 \times 10^5$$

(a) Chips (hot surface) facing up:

$$Nu = 0.54 Ra^{1/4} = 0.54(3.848 \times 10^5)^{1/4} = 13.45$$

$$h = \frac{k}{L_c} Nu = \frac{0.02588 \text{ W/m} \cdot ^\circ\text{C}}{0.075 \text{ m}} (13.45) = 4.641 \text{ W/m}^2 \cdot ^\circ\text{C}$$

$$A_s = (0.3 \text{ m})^2 = 0.09 \text{ m}^2$$

Considering both natural convection and radiation, the total rate of heat loss can be expressed as

$$\begin{aligned} \dot{Q} &= hA_s(T_s - T_\infty) + \varepsilon A_s \sigma (T_s^4 - T_{\text{surr}}^4) \\ (121 \times 0.05) \text{ W} &= (4.641 \text{ W/m}^2 \cdot ^\circ\text{C})(0.09 \text{ m}^2)(T_s - 25)^\circ\text{C} \\ &\quad + (0.7)(0.09 \text{ m}^2)(5.67 \times 10^{-8} \text{ W/m}^2 \cdot \text{K}^4)[(T_s + 273 \text{ K})^4 - (25 + 273 \text{ K})^4] \end{aligned}$$

Its solution is $T_s = 32.5^\circ\text{C}$

which is sufficiently close to the assumed value. Therefore, there is no need to repeat calculations.

facing down

(b) Chips (hot surface) facing up:

$$Nu = 0.27 Ra^{1/4} = 0.27(3.848 \times 10^5)^{1/4} = 6.725$$

$$h = \frac{k}{L_c} Nu = \frac{0.02588 \text{ W/m}\cdot\text{^\circ C}}{0.075 \text{ m}} (6.725) = 2.321 \text{ W/m}^2\cdot\text{^\circ C}$$

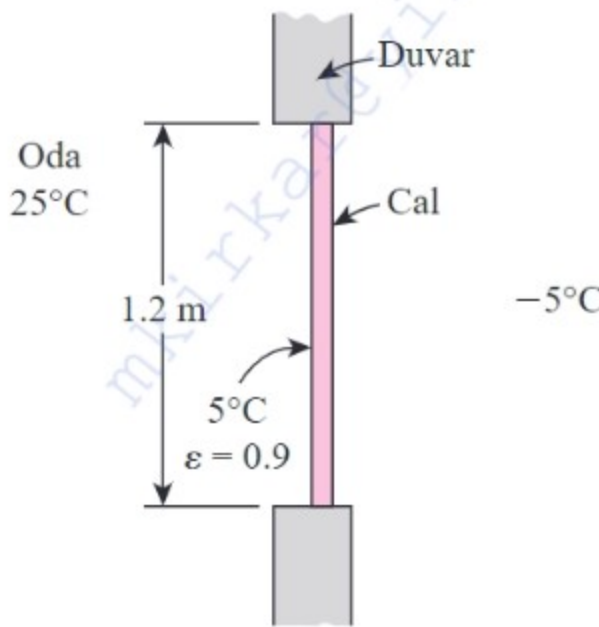
Considering both natural convection and radiation, the total rate of heat loss can be expressed as

$$\begin{aligned}\dot{Q} &= hA_s(T_s - T_\infty) + \varepsilon A_s \sigma(T_s^4 - T_{\text{sur}}^4) \\ (121 \times 0.05) \text{ W} &= (2.321 \text{ W/m}^2\cdot\text{^\circ C})(0.09 \text{ m}^2)(T_s - 25)^\circ\text{C} \\ &\quad + (0.7)(0.09 \text{ m}^2)(5.67 \times 10^{-8} \text{ W/m}^2\cdot\text{K}^4)[(T_s + 273 \text{ K})^4 - (25 + 273 \text{ K})^4]\end{aligned}$$

Its solution is $T_s = 35.0^\circ\text{C}$

which is identical to the assumed value in the evaluation of properties and h . Therefore, there is no need to repeat calculations.

9-39 Isıl iletkenliği $k = 0.78 \text{ W/m}\cdot\text{K}$, yayıcılığı $\epsilon = 0.9$, kalınlığı 6 mm, yüksekliği 1.2 m ve genişliği 2 m olan bir cam pencere göz önüne alınır. Pencereye karşı olan oda ve duvarlar 25°C ’de tutulmakta ve pencerenin iç yüzeyinin ortalama sıcaklığı 5°C olarak ölçülmektedir. Eğer dış ortamın sıcaklığı -5°C ise, (a) pencerenin iç yüzeyindeki taşınım ısı transfer katsayısını, (b) pencerden geçen toplam ısı transferini hızını ve (c) pencerenin dış yüzeyindeki birleşik doğal taşınım ve ışınım ısı transfer katsayısını bulunuz. Bu durumda camın isıl direncini ihmâl etmek uygun mudur?



ŞEKİL P9-39

9-34 A glass window is considered. The convection heat transfer coefficient on the inner side of the window, the rate of total heat transfer through the window, and the combined natural convection and radiation heat transfer coefficient on the outer surface of the window are to be determined.

Assumptions 1 Steady operating conditions exist. 2 Air is an ideal gas with constant properties. 3 The local atmospheric pressure is 1 atm.

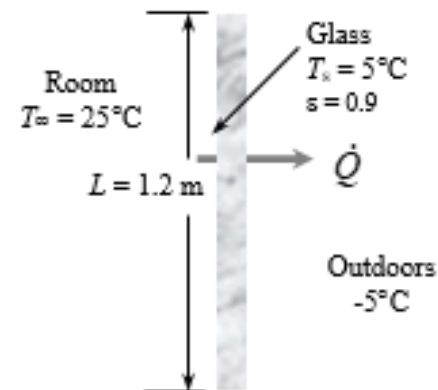
Properties The properties of air at 1 atm and the film temperature of $(T_{\infty} + T_s)/2 = (5+25)/2 = 15^\circ\text{C}$ are (Table A-15)

$$k = 0.02476 \text{ W/m}\cdot\text{^\circ C}$$

$$\nu = 1.471 \times 10^{-5} \text{ m}^2/\text{s}$$

$$\text{Pr} = 0.7323$$

$$\beta = \frac{1}{T_f} = \frac{1}{(15+273)\text{K}} = 0.003472 \text{ K}^{-1}$$



Analysis (a) The characteristic length in this case is the height of the window, $L_c = L = 1.2 \text{ m}$. Then,

$$Ra = \frac{g\beta(T_{\infty} - T_s)L_c^3}{\nu^2} \text{Pr} = \frac{(9.81 \text{ m/s}^2)(0.003472 \text{ K}^{-1})(25 - 5 \text{ K})(1.2 \text{ m})^3}{(1.471 \times 10^{-5} \text{ m}^2/\text{s})^2} (0.7323) = 3.986 \times 10^9$$

$$Nu = \left[0.825 + \frac{0.387 Ra^{1/6}}{\left[1 + \left(\frac{0.492}{\text{Pr}} \right)^{9/16} \right]^{8/27}} \right]^2 = \left[0.825 + \frac{0.387(3.986 \times 10^9)^{1/6}}{\left[1 + \left(\frac{0.492}{0.7323} \right)^{9/16} \right]^{8/27}} \right]^2 = 189.7$$

$$h = \frac{k}{L} Nu = \frac{0.02476 \text{ W/m}\cdot\text{^\circ C}}{1.2 \text{ m}} (189.7) = 3.915 \text{ W/m}^2 \cdot \text{^\circ C}$$

$$A_s = (1.2 \text{ m})(2 \text{ m}) = 2.4 \text{ m}^2$$

(b) The sum of the natural convection and radiation heat transfer from the room to the window is

$$\dot{Q}_{\text{convection}} = hA_s(T_{\infty} - T_s) = (3.915 \text{ W/m}^2 \cdot ^\circ\text{C})(2.4 \text{ m}^2)(25 - 5)^\circ\text{C} = 187.9 \text{ W}$$

$$\begin{aligned}\dot{Q}_{\text{radiation}} &= \varepsilon A_s \sigma (T_{\text{surf}}^4 - T_s^4) \\ &= (0.9)(2.4 \text{ m}^2)(5.67 \times 10^{-8} \text{ W/m}^2 \cdot \text{K}^4)[(25 + 273 \text{ K})^4 - (5 + 273 \text{ K})^4] = 234.3 \text{ W} \\ \dot{Q}_{\text{total}} &= \dot{Q}_{\text{convection}} + \dot{Q}_{\text{radiation}} = 187.9 + 234.3 = \mathbf{422.2 \text{ W}}$$

(c) The outer surface temperature of the window can be determined from

$$\dot{Q}_{\text{total}} = \frac{kA_s}{t} (T_{s,I} - T_{s,o}) \longrightarrow T_{s,o} = T_{s,I} - \frac{\dot{Q}_{\text{total}} t}{kA_s} = 5^\circ\text{C} - \frac{(346 \text{ W})(0.006 \text{ m})}{(0.78 \text{ W/m} \cdot ^\circ\text{C})(2.4 \text{ m}^2)} = 3.65^\circ\text{C}$$

Then the combined natural convection and radiation heat transfer coefficient on the outer window surface becomes

$$\begin{aligned}\dot{Q}_{\text{total}} &= h_{\text{combined}} A_s (T_{s,o} - T_{\infty,o}) \\ \text{or } h_{\text{combined}} &= \frac{\dot{Q}_{\text{total}}}{A_s (T_{s,o} - T_{\infty,o})} = \frac{346 \text{ W}}{(2.4 \text{ m}^2)[3.65 - (-5)]^\circ\text{C}} = \mathbf{20.35 \text{ W/m}^2 \cdot ^\circ\text{C}}$$

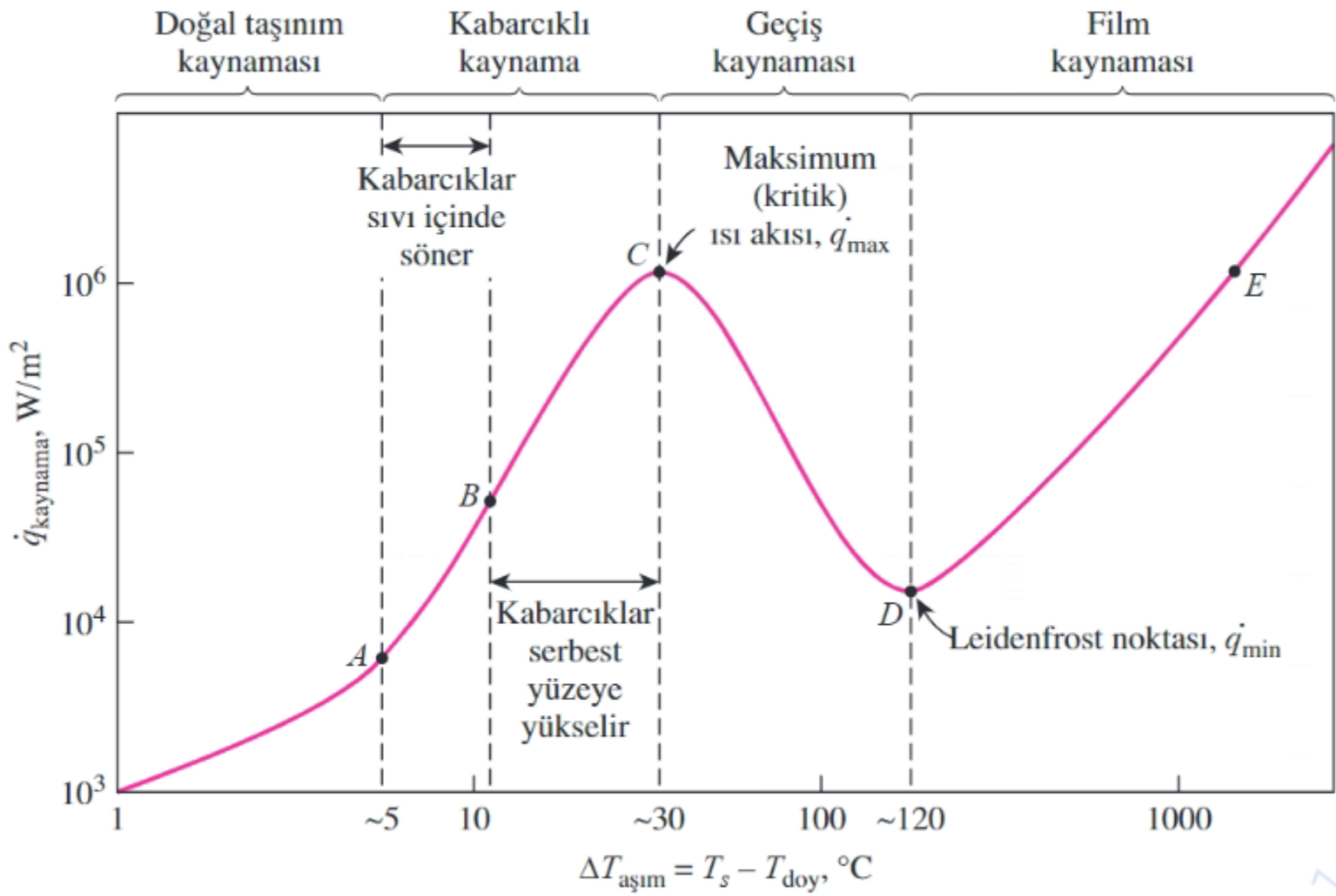
Note that $\Delta T = QR$ and thus the thermal resistance R of a layer is proportional to the temperature drop across that layer. Therefore, the fraction of thermal resistance of the glass is equal to the ratio of the temperature drop across the glass to the overall temperature difference,

$$\frac{R_{\text{glass}}}{R_{\text{total}}} = \frac{\Delta T_{\text{glass}}}{\Delta T R_{\text{total}}} = \frac{5 - 3.65}{25 - (-5)} = 0.045 \text{ (or } 4.5\%)$$

which is low. Thus it is reasonable to neglect the thermal resistance of the glass.



KAYNAMA



ÖRNEK 10-2 Kabarcıklı Kaynamada Tepe Isı Akışı

Şekil 10-16'da görüldüğü gibi bir kaptaki su, içinde elektrikli direnç telleri olan 1 cm çaplı nikel kaplanmış bir çelik ısıtıcı eleman tarafından, deniz seviyesinde kaynatılacaktır. Kabarcıklı kaynamada erişilebilecek maksimum ısı akısını ve bu durumda ısıtıcının yüzey sıcaklığını bulunuz.

ÇÖZÜM Su, nikel kaplı çelik yüzeyde 1 atm basınçta kaynamaktadır. Maksimum ısı akısı ve yüzey sıcaklığı bulunacaktır.

Kabuller 1 Sürekli işlem şartları geçerlidir. 2 Kazandan olan ısı kayipları ihmâl edilebilir.

Özellikler 100°C doyma sıcaklığında suyun özellikleri, $\sigma = 0.0589 \text{ N/m}$ (Tablo 10-1) ve Tablo A-9'dan:

$$\begin{aligned}\rho_l &= 957.9 \text{ kg/m}^3 & h_{fg} &= 2257 \times 10^3 \text{ J/kg} \\ \rho_v &= 0.6 \text{ kg/m}^3 & \mu_l &= 0.282 \times 10^{-3} \text{ kg/m}\cdot\text{s} \\ Pr_l &= 1.75 & c_{pl} &= 4217 \text{ J/kg}\cdot\text{K}\end{aligned}$$

Yine nikel kaplı çelik yüzey üzerinde suyun kaynaması için $C_{sf} = 0.0060$ ve $n = 1.0$ olmaktadır (Tablo 10-3). Dikkat edileceği gibi birim dönüştürme işlemlerinden kaçınmak için özellikler, tanımlarına bağlı olarak Eş. 10-2 ve Eş. 10-3'teki birimleriyle ifade edilmiştir.

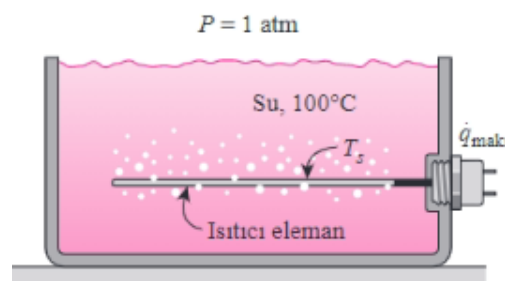
Cözümleme Bu durumda ısıtıcı eleman, karakteristik uzunluğu $L = r = 0.005 \text{ m}$ 'lik yarıçapı olan kısa bir silindir olarak düşünülebilir. Boyutsuz parametre L^* ve C_{kr} sabiti Tablo 10-4'ten,

$$L^* = L \left(\frac{g(\rho_l - \rho_v)}{\sigma} \right)^{1/2} = (0.005) \left(\frac{(9.81)(957.9 - 0.6)}{0.0589} \right)^{1/2} = 2.00 > 1.2$$

olarak bulunur ki $C_{kr} = 0.12$ değerine denk gelir.

Bu durumda maksimum veya kritik ısı akısı Eş. 10-3'ten,

$$\begin{aligned}\dot{q}_{\text{maks}} &= C_{kr} h_{fg} [\sigma g \rho_v^2 (\rho_l - \rho_v)]^{1/4} \\ &= 0.12(2257 \times 10^3)[0.0589 \times 9.81 \times (0.6)^2(957.9 - 0.6)]^{1/4} \\ &= 1.017 \times 10^6 \text{ W/m}^2\end{aligned}$$



ŞEKİL 10-16

Örnek 10-2 için şematik gösterim.

olarak bulunur. Tanımlı yüzey sıcaklığı için kabarcıklı kaynama ısı akısını veren Rohsenow bağıntısı, ısı akısı verildiğinde yüzey sıcaklığını bulmakta da kullanılır. Diğer özelliklerle birlikte maksimum ısı akısı Eş. 10-2 'ye götürülerek şöyle bulunur:

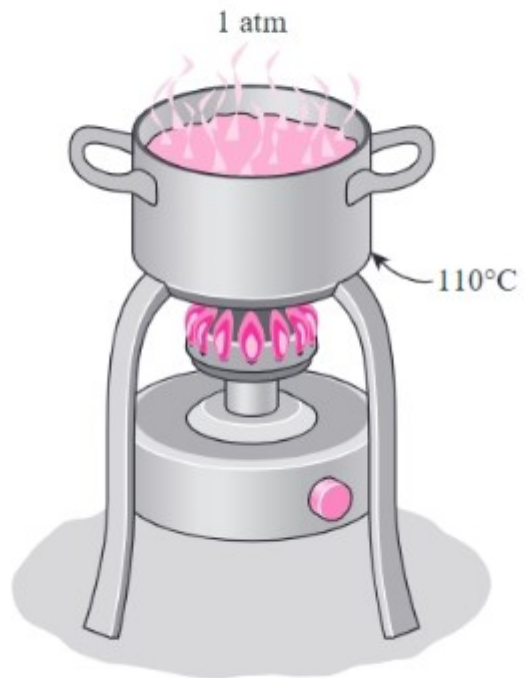
$$\dot{q}_{\text{kabarcıklı}} = \mu_l h_{fg} \left[\frac{g(\rho_l - \rho_v)}{\sigma} \right]^{1/2} \left[\frac{c_{pl} (T_s - T_{\text{doy}})}{C_{sf} h_{fg} \text{Pr}_l^n} \right]^3$$

$$1.017 \times 10^6 = (0.282 \times 10^{-3})(2257 \times 10^3) \left[\frac{9.81(957.9 - 0.6)}{0.0589} \right]^{1/2} \\ \times \left[\frac{4217(T_s - 100)}{0.0130(2257 \times 10^3) 1.75} \right]^3$$

$$T_s = 119^\circ\text{C}$$

İrdeleme Dikkat edileceği üzere kabarcıklı kaynamada 20°C 'den az sıcaklık farklarıyla 1 MW/m^2 mertebesinde ısı akıları elde edilebilmektedir.

10-14 Su, bir ısıtıcının üstüne yerleştirilen mekanik olarak parlatılmış çelik tencerede, atmosfer basıncında kaynatılacaktır. Tencere tabanının iç yüzeyi 110°C ’de tutulmaktadır. Tencere tabanının çapı **25** cm ise, (a) suya olan ısı transfer hızını ve (b) buharlaşma hızını bulunuz.



ŞEKİL P10-14

10-11 Water is boiled at 1 atm pressure and thus at a saturation (or boiling) temperature of $T_{\text{sat}} = 100^\circ\text{C}$ in a mechanically polished stainless steel pan whose inner surface temperature is maintained at $T_s = 110^\circ\text{C}$. The rate of heat transfer to the water and the rate of evaporation of water are to be determined.

Assumptions 1 Steady operating conditions exist. 2 Heat losses from the heater and the boiler are negligible.

Properties The properties of water at the saturation temperature of 100°C are (Tables 10-1 and A-9)

$$\rho_l = 957.9 \text{ kg/m}^3$$

$$h_{fg} = 2257 \times 10^3 \text{ J/kg}$$

$$\rho_v = 0.60 \text{ kg/m}^3$$

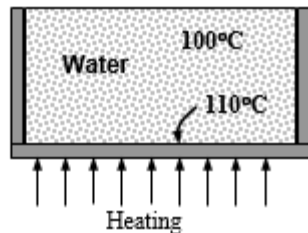
$$\mu_l = 0.282 \times 10^{-3} \text{ kg}\cdot\text{m/s}$$

$$\sigma = 0.0589 \text{ N/m}$$

$$C_{pl} = 4217 \text{ J/kg}\cdot^\circ\text{C}$$

$$\Pr_l = 1.75$$

$$P = 1 \text{ atm}$$



Also, $C_{sf} = 0.0130$ and $n = 1.0$ for the boiling of water on a mechanically polished stainless steel surface (Table 10-3). Note that we expressed the properties in units specified under Eq. 10-2 in connection with their definitions in order to avoid unit manipulations.

Analysis The excess temperature in this case is $\Delta T = T_s - T_{\text{sat}} = 110 - 100 = 10^\circ\text{C}$ which is relatively low (less than 30°C). Therefore, nucleate boiling will occur. The heat flux in this case can be determined from Rohsenow relation to be

$$\begin{aligned} \dot{q}_{\text{nucleate}} &= \mu_l h_{fg} \left[\frac{g(\rho_l - \rho_v)}{\sigma} \right]^{1/2} \left(\frac{C_{p,l}(T_s - T_{\text{sat}})}{C_{sf} h_{fg} \Pr_l^n} \right)^3 \\ &= (0.282 \times 10^{-3})(2257 \times 10^3) \left[\frac{9.8(957.9 - 0.60)}{0.0589} \right]^{1/2} \left(\frac{4217(110 - 100)}{0.0130(2257 \times 10^3)1.75} \right)^3 \\ &= 140,700 \text{ W/m}^2 \end{aligned}$$

The surface area of the bottom of the pan is

$$A_s = \pi D^2 / 4 = \pi(0.25 \text{ m})^2 / 4 = 0.04909 \text{ m}^2$$

Then the rate of heat transfer during nucleate boiling becomes

$$\dot{Q}_{\text{boiling}} = A_s \dot{q}_{\text{nucleate}} = (0.04909 \text{ m}^2)(140,700 \text{ W/m}^2) = 6907 \text{ W}$$

(b) The rate of evaporation of water is determined from

$$\dot{m}_{\text{evaporation}} = \frac{\dot{Q}_{\text{boiling}}}{h_{fg}} = \frac{6907 \text{ J/s}}{2257 \times 10^3 \text{ J/kg}} = 3.06 \times 10^{-3} \text{ kg/s}$$

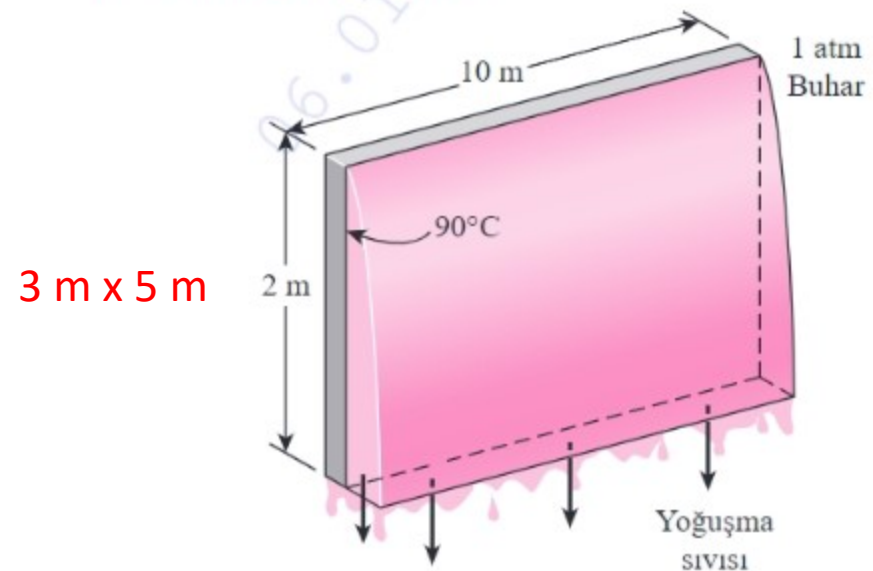
That is, water in the pan will boil at a rate of 3 grams per second.



YOĞUŞMA



10-51 Arka tarafında dolaşan soğutma suyu ile 90°C 'de tutulan ve yüksekliği 2 m ve genişliği 10 m olan bir düşey plakada 1 atmosferde doymuş buhar yoğunmaktadır. (a) Plakaya yoğunlaşmayla olan ısı transfer hızını ve (b) hangi yoğunuma hızında yoğunsan akışın plakadan aşağı damlayacağını bulunuz. *Cevaplar:* (a) 1352 kW, (b) 0.591 kg/s



ŞEKİL P10-51

10-44 Saturated steam at atmospheric pressure thus at a saturation temperature of $T_{\text{sat}} = 100^\circ\text{C}$ condenses on a vertical plate which is maintained at 90°C by circulating cooling water through the other side. The rate of heat transfer to the plate and the rate of condensation of steam are to be determined.

Assumptions 1 Steady operating conditions exist. 2 The plate is isothermal. 3 The condensate flow is wavy-laminar over the entire plate (this assumption will be verified). 4 The density of vapor is much smaller than the density of liquid, $\rho_v \ll \rho_l$.

Properties The properties of water at the saturation temperature of 100°C are $h_{fg} = 2257 \times 10^3 \text{ J/kg}$ and $\rho_v = 0.60 \text{ kg/m}^3$. The properties of liquid water at the film temperature of $T_f = (T_{\text{sat}} + T_s)/2 = (100 + 90)/2 = 95^\circ\text{C}$ are (Table A-9),

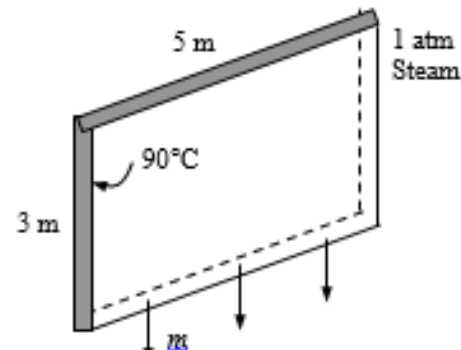
$$\rho_l = 961.5 \text{ kg/m}^3$$

$$\mu_l = 0.297 \times 10^{-3} \text{ kg/m}\cdot\text{s}$$

$$V_l = \mu_l / \rho_l = 0.309 \times 10^{-6} \text{ m}^2/\text{s}$$

$$C_{pl} = 4212 \text{ J/kg}\cdot^\circ\text{C}$$

$$k_l = 0.677 \text{ W/m}\cdot^\circ\text{C}$$



Analysis The modified latent heat of vaporization is

$$h_{fg}^* = h_{fg} + 0.68C_{pl}(T_{\text{sat}} - T_s) \\ = 2257 \times 10^3 \text{ J/kg} + 0.68 \times 4212 \text{ J/kg}\cdot^\circ\text{C}(100 - 90)^\circ\text{C} = 2,286 \times 10^3 \text{ J/kg}$$

Assuming wavy-laminar flow, the Reynolds number is determined from

$$\text{Re} = \text{Re}_{\text{verticalwavy}} = \left[4.81 + \frac{3.70Lk_l(T_{\text{sat}} - T_s)\left(\frac{g}{V_l^2}\right)^{1/3}}{\mu_l h_{fg}^*} \right]^{0.820} \\ = \left[4.81 + \frac{3.70 \times (3 \text{ m}) \times (0.677 \text{ W/m}\cdot^\circ\text{C}) \times (100 - 90)^\circ\text{C}}{(0.297 \times 10^{-3} \text{ kg/m}\cdot\text{s})(2286 \times 10^3 \text{ J/kg})} \left(\frac{9.8 \text{ m/s}^2}{(0.309 \times 10^{-6} \text{ m}^2/\text{s})^2} \right)^{1/3} \right]^{0.82} = 1112$$

which is between 30 and 1800, and thus our assumption of wavy laminar flow is verified. Then the

which is between 30 and 1800, and thus our assumption of wavy laminar flow is verified. Then the condensation heat transfer coefficient is determined to be

$$h = h_{\text{vertical, wavy}} = \frac{\text{Re } k_l}{1.08\text{Re}^{1/22} - 5.2} \left(\frac{g}{V_l^2} \right)^{1/3}$$

$$= \frac{1112 \times (0.677 \text{W/m}\cdot^\circ\text{C})}{1.08(1112)^{1/22} - 5.2} \left(\frac{9.8 \text{m/s}^2}{(0.309 \times 10^{-6} \text{ m}^2/\text{s})^2} \right)^{1/3} = 6279 \text{W/m}^2 \cdot ^\circ\text{C}$$

The heat transfer surface area of the plate is

$$A_s = W \times L = (3 \text{m})(5 \text{m}) = 15 \text{m}^2$$

Then the rate of heat transfer during this condensation process becomes

$$\dot{Q} = h A_s (T_{sat} - T_s) = (6279 \text{W/m}^2 \cdot ^\circ\text{C})(15 \text{m}^2)(100 - 90)^\circ\text{C} = 941,850 \text{W}$$

(b) The rate of condensation of steam is determined from

$$\dot{m}_{\text{condensation}} = \frac{\dot{Q}}{h_{fg}^*} = \frac{941850 \text{J/s}}{2286 \times 10^3 \text{ J/kg}} = 0.412 \text{kg/s}$$

10-55 Yüzeyi, soğutma suyuyla 45°C ’de tutulan 3 cm dış çaplı **yatay** borunun dış yüzeyinde 55°C ’de doymuş buhar, 10 kg/h debiyle yoğunlaşacaktır. Gerekli boru boyunu bulunuz.

10-50 Saturated steam at a saturation temperature of $T_{\text{sat}} = 55^\circ\text{C}$ condenses on the outer surface of a horizontal tube which is maintained at 45°C . The required tube length to condense steam at a rate of 10 kg/h is to be determined.

Assumptions 1 Steady operating conditions exist. 2 The tube is isothermal.

Properties The properties of water at the saturation temperature of 55°C are $h_{fg} = 2371 \times 10^3 \text{ J/kg}$ and $\rho_v = 0.1045 \text{ kg/m}^3$. The properties of liquid water at the film temperature of $T_f = (T_{\text{sat}} + T_s)/2 = (55 + 45)/2 = 50^\circ\text{C}$ are (Table A-9),

$$\rho_l = 988.1 \text{ kg/m}^3$$

$$\mu_l = 0.547 \times 10^{-3} \text{ kg/m}\cdot\text{s}$$

$$v_l = \mu_l / \rho_l = 0.554 \times 10^{-6} \text{ m}^2/\text{s}$$

$$C_{pl} = 4181 \text{ J/kg}\cdot^\circ\text{C}$$

$$k_l = 0.644 \text{ W/m}\cdot^\circ\text{C}$$

Analysis The modified latent heat of vaporization is

$$\begin{aligned} h_{fg}^* &= h_{fg} + 0.68 C_{pl} (T_{\text{sat}} - T_s) \\ &= 2371 \times 10^3 \text{ J/kg} + 0.68 \times 4181 \text{ J/kg}\cdot^\circ\text{C} (55 - 45)^\circ\text{C} = 2399 \times 10^3 \text{ J/kg} \end{aligned}$$

Noting that the tube is horizontal, the condensation heat transfer coefficient is determined from

$$\begin{aligned} h &= h_{\text{horizontal}} = 0.729 \left[\frac{g \rho_l (\rho_l - \rho_v) h_{fg}^* k_l^3}{\mu_l (T_{\text{sat}} - T_s) D} \right]^{1/4} \\ &= 0.729 \left[\frac{(9.8 \text{ m/s}^2)(988.1 \text{ kg/m}^3)(988.1 - 0.10 \text{ kg/m}^3)(2399 \times 10^3 \text{ J/kg})(0.644 \text{ W/m}\cdot^\circ\text{C})^3}{(0.547 \times 10^{-3} \text{ kg/m}\cdot\text{s})(55 - 45)^\circ\text{C}(0.03 \text{ m})} \right]^{1/4} \\ &= 10,135 \text{ W/m}^2\cdot^\circ\text{C} \end{aligned}$$

The rate of heat transfer during this condensation process is

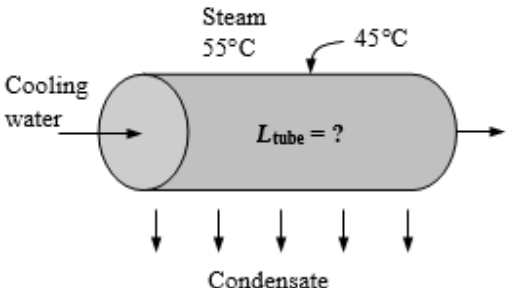
$$\dot{Q} = \dot{m} h_{fg}^* = (10 / 3600 \text{ kg/s}) (2399 \times 10^3 \text{ J/kg}) = 6,664 \text{ W}$$

Heat transfer can also be expressed as

$$\dot{Q} = h A_s (T_{\text{sat}} - T_s) = h (\pi D L) (T_{\text{sat}} - T_s)$$

Then the required length of the tube becomes

$$L = \frac{\dot{Q}}{h(\pi D)(T_{\text{sat}} - T_s)} = \frac{6664 \text{ W}}{(10,135 \text{ W/m}^2\cdot^\circ\text{C})\pi(0.03 \text{ m})(55 - 45)^\circ\text{C}} = 0.70 \text{ m}$$



İSİ DEĞİŞTİRİCİLERİ

ÖRNEK 11-1

Bir Isı Değiştiricinin Toplam Isı Transfer Katsayısı

Sıcak ya , çift borulu kar t ak s  bir ısı de gi tiricide so utulmaktadır. 2 cm  ap l  bak r iç borular n et kal nl  i ihmal edilebilmektedir. D   borun n (g  vde)   ap  3 cm  dir. Su borudan 0.5 kg/s debiyle ve ya  g  vd den 0.8 kg/s debi ile akmaktadır. Su ve ya n ortalama s  caklıklar n  sırasıyla 45 C ve 80 C alarak bu ısı de gi tiric nin toplam ısı transfer katsay s n  bulunuz.

  Z  M S  cak ya , çift borulu kar t ak s  bir ısı de gi tiricide so utulmaktadır. Toplam ısı transfer katsay s  bulunacaktır.

Kabullen 1 İç borun n malzemesi oldukça iletken ve kal nl  i ihmal edildi  inden   s  l direnci ihmal edilebilir. 2 Ya n ve su ak s n  ikisi de tam gel  mi  st r. 3 Ya n ve suyun   zellikleri sabittir.

  zellikler Suyun 45 C  deki   zellikleri (Tablo A-9):

$$\rho = 990.1 \text{ kg/m}^3 \quad \text{Pr} = 3.91$$

$$k = 0.637 \text{ W/m}\cdot\text{K} \quad \nu = \mu/\rho = 0.602 \times 10^{-6} \text{ m}^2/\text{s}$$

Ya n 80 C  deki   zellikleri (Tablo A-13):

$$\rho = 852 \text{ kg/m}^3 \quad \text{Pr} = 499.3$$

$$k = 0.138 \text{ W/m}\cdot\text{K} \quad \nu = 3.794 \times 10^{-5} \text{ m}^2/\text{s}$$

  z  mleme Isı de gi tiric nin   ematik g  rn  m  Şek. 11-10  da verilmi  st r. Es. 11-5  ten toplam ısı transfer katsay s  U,

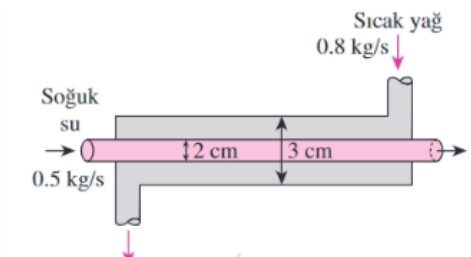
$$\frac{1}{U} \approx \frac{1}{h_i} + \frac{1}{h_o}$$

olarak bulunabilir; burada h_i ve h_o sırasıyla içteki ve d  staki borular n ta n  m s  transfer katsay alar d r ve zorlan  m  ta n  m  ba n  nt llar  kullan  ilarak belirlenecekt r. Dairesel bir borun n hidrolik   ap  borun n kendi   ap d r: $D_h = D = 0.02 \text{ m}$. Borudaki suyun ortalama h  z ,

$$V = \frac{\dot{m}}{\rho A_c} = \frac{\dot{m}}{\rho (\frac{1}{4}\pi D^2)} = \frac{0.5 \text{ kg/s}}{(990.1 \text{ kg/m}^3)[\frac{1}{4}\pi(0.02 \text{ m})^2]} = 1.61 \text{ m/s}$$

ve Reynolds say s ,

$$\text{Re} = \frac{VD}{\nu} = \frac{(1.61 \text{ m/s})(0.02 \text{ m})}{0.602 \times 10^{-6} \text{ m}^2/\text{s}} = 53,490$$



  KIL 11-10
Ornek 11-1 için   ematik g  sterim.

olur ki 10,000 'den daha büyüktür. Bu durumda suyun akışı türbülanslıdır. Akışın tam gelişmiş olduğu kabul edilerek Nusselt sayısı,

$$Nu = \frac{hD}{k} = 0.023 Re^{0.8} Pr^{0.4} = 0.023(53,490)^{0.8}(3.91)^{0.4} = 240.6$$

ifadesinden bulunabilir. Böylece,

$$h = \frac{k}{D} Nu = \frac{0.637 \text{ W/m}\cdot\text{K}}{0.02 \text{ m}} (240.6) = 7663 \text{ W/m}^2\cdot\text{K}$$

olur. Yukardaki çözümleme yağ için tekrarlanabilir. Yağın 80°C 'deki özelliklerini söylemektedir:

$$\rho = 852 \text{ kg/m}^3 \quad \nu = 37.5 \times 10^{-6} \text{ m}^2/\text{s}$$

$$k = 0.138 \text{ W/m}\cdot\text{K} \quad Pr = 490$$

Halka şeklindeki aralık için hidrolik çap,

$$D_h = D_o - D_i = 0.03 - 0.02 = 0.01 \text{ m}$$

olur. Bu durumda ortalama hız ve Reynolds sayısı,

$$V = \frac{\dot{m}}{\rho A_c} = \frac{\dot{m}}{\rho [\frac{1}{4}\pi(D_o^2 - D_i^2)]} = \frac{0.8 \text{ kg/s}}{(852 \text{ kg/m}^3)[\frac{1}{4}\pi(0.03^2 - 0.02^2)] \text{ m}^2} = 2.39 \text{ m/s}$$

ve

$$Re = \frac{VD}{\nu} = \frac{(2.39 \text{ m/s})(0.01 \text{ m})}{3.794 \times 10^{-5} \text{ m}^2/\text{s}} = 630$$

olur ki 2300 'den daha küçüktür. Bu sebeple yağın akışı laminardır. Tam gelişmiş akış olduğu kabul edilerek, $D_i/D_o = 0.02/0.03 = 0.667$ 'ye karşılık gelen

TABLO 11-3

Bir yüzeyi yalıtımlı diğer yüzeyi izotermal dairesel bir halkada tam gelişmiş laminar akış için Nussel sayısı (Kays ve Perkins)

D_i/D_o	Nu_i	Nu_o
0.00	—	3.66
0.05	17.46	4.06
0.10	11.56	4.11
0.25	7.37	4.23
0.50	5.74	4.43
1.00	4.86	4.86

halka boşluğun boru tarafındaki Nuselt sayısı Nu_i Tablo 11-3 'ten enterpolasyonla,

$$Nu = 5.45$$

ve

$$h_o = \frac{k}{D_h} Nu = \frac{0.138 \text{ W/m}\cdot\text{K}}{0.01 \text{ m}} (5.45) = 75.2 \text{ W/m}^2\cdot\text{K}$$

olarak bulunabilir. Böylece bu ısı değiştirici için toplam ısı transfer katsayıısı,

$$U = \frac{1}{\frac{1}{h_i} + \frac{1}{h_o}} = \frac{1}{\frac{1}{7663 \text{ W/m}^2\cdot\text{K}} + \frac{1}{75.2 \text{ W/m}^2\cdot\text{K}}} = 74.5 \text{ W/m}^2\cdot\text{K}$$

olur.

İrdeleme Dikkat edilirse bu durumda $h_i \gg h_o$ olduğu için $U \approx h_o$ olur. Bu, iki değer arasındaki fark büyük olduğu zaman, bir ısı değiştiricide toplam ısı transfer katsayısına daha küçük olan ısı transfer katsayısının egemen olduğu şeklindeki önceki ifadeyi doğrular.

Bu ısı değiştiricide toplam ısı transfer katsayısını ve dolayısıyla ısı transferini iyileştirmek için, yağ tarafında kanatlı yüzey gibi bazı iyileştirme teknikleri kullanmak gereklidir.

ÖRNEK 11-4

Karşılık Akışlı Bir Isı Değiştiricide Suyun Isıtılması

Karşılık akışlı çift borulu bir ısı değiştirici, debisi 1.2 kg/s olan suyu 20°C 'den 80°C 'ye kadar ısıtacaktır. Isıtma, kütle debisi 2 kg/s olan 160°C 'deki jeotermal su ile yapılmaktadır. 1.5 cm çaplı iç boru ince duvarlıdır. Eğer ısı değiştiricinin toplam ısı transfer katsayısı $640 \text{ W/m}^2\cdot\text{K}$ ise, beklenen ısıtmayı gerçekleştirmek için gerekli ısı değiştirici uzunluğunu bulunuz

ÇÖZÜM Su, karşılık akışlı çift borulu bir ısı değiştiricide jeotermal suyla ısıtılmaktadır. Gerekli ısı değiştirici uzunluğu bulunacaktır.

Kabuller 1 Sürekli işlem şartları geçerlidir. 2 Isı değiştirici, çevreye ısı kaybı ihmali edilebilecek kadar iyi yalıtılmıştır. 3 Akışkan akımlarının kinetik ve potansiyel enerji değişimleri ihmali edilebilir. 4 Kirlenme yoktur. 5 Akışkan özellikleri sabittir.

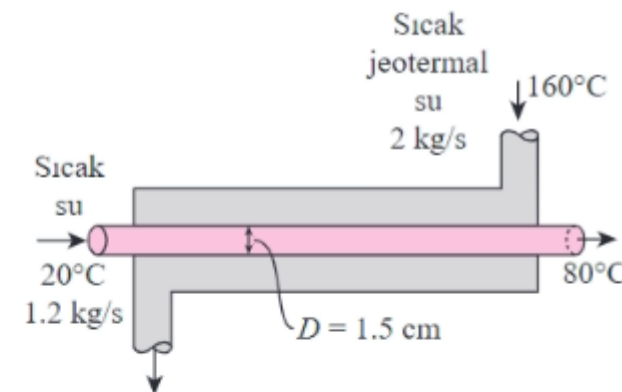
Özellikler Suyun ve jeotermal akışkanın özgül ısularını sırasıyla $4.18 \text{ kJ/kg}\cdot\text{K}$

Çözümleme Isı değiştiricinin şeması Şek. 11-20 'de verilmiştir. Isı değiştiricideki ısı transfer hızı,

$$\dot{Q} = [\dot{m}c_p(T_{\text{çıkan}} - T_{\text{giren}})]_{\text{su}} = (1.2 \text{ kg/s})(4.18 \text{ kJ/kg}\cdot\text{K})(80 - 20)^\circ\text{C} = 301 \text{ kW}$$

denkleminden bulunabilir. Bütün ısının jeotermal su tarafından sağlandığı dikkate alınarak jeotermal suyun sıcaklığı,

$$\begin{aligned}\dot{Q} &= [\dot{m}c_p(T_{\text{giren}} - T_{\text{çıkan}})]_{\text{jeotermal}} \longrightarrow T_{\text{çıkan}} = T_{\text{giren}} - \frac{\dot{Q}}{\dot{m}c_p} \\ &= 160^\circ\text{C} - \frac{301 \text{ kW}}{(2 \text{ kg/s})(4.31 \text{ kJ/kg}\cdot\text{K})} \\ &= 125^\circ\text{C}\end{aligned}$$



ŞEKİL 11-20
Örnek 11-4 için şematik gösterim.

olarak bulunur. İki akışkanın giriş ve çıkış sıcaklıklarını biliniyorsa, karşıt akışlı bu ısı değiştirici için,

$$\Delta T_1 = T_{h, \text{giren}} - T_{c, \text{çıkan}} = (160 - 80)^\circ\text{C} = 80^\circ\text{C}$$

$$\Delta T_2 = T_{h, \text{çıkan}} - T_{c, \text{giren}} = (125 - 20)^\circ\text{C} = 105^\circ\text{C}$$

ve logaritmik ortalama sıcaklık farkı,

$$\Delta T_{\text{lm}} = \frac{\Delta T_1 - \Delta T_2}{\ln(\Delta T_1 / \Delta T_2)} = \frac{80 - 105}{\ln(80/105)} = 91.9^\circ\text{C}$$

olur. Böylece ısı değiştiricinin yüzey alanı,

$$\dot{Q} = UA_s \Delta T_{\text{lm}} \longrightarrow A_s = \frac{\dot{Q}}{U \Delta T_{\text{lm}}} = \frac{301,000 \text{ W}}{(640 \text{ W/m}^2 \cdot \text{K})(91.9^\circ\text{C})} = 5.12 \text{ m}^2$$

olarak bulunur. Bu büyük ısı transfer yüzey alanını sağlamak üzere boru uzunluğu,

$$A_s = \pi D L \longrightarrow L = \frac{A_s}{\pi D} = \frac{5.12 \text{ m}^2}{\pi(0.015 \text{ m})} = 109 \text{ m}$$

olmalıdır.

İrdeleme İstenen ısı transferini sağlaması için bu karşıt akışlı ısı değiştiricinin iç borusu (ve dolayısıyla ısı değiştiricinin kendisi) 100 m 'den daha uzun olmalıdır ki bu pratik değildir. Bu gibi durumlarda bir plakalı ısı değiştirici veya çok geçişli boru demeti olan çok geçişli, gövde borulu bir ısı değiştirici kullanılması gerekir.

ÖRNEK 11-8 Etkinlik-NTU Yöntemi

1.2 kg/s debili suyu 20°C 'den 80°C 'ye ısıtmak için karşı akışlı, çift borulu bir ısı değiştiricide (Şekil 11-29) ısıtma işlemi, kütle debisi 2 kg/s olan 160°C sıcaklığındaki jeotermal suyla yapılacaktır. İç boru ince duvarlı ve 1.5 cm çaplıdır. Isı değiştiricinin toplam ısı transfer katsayısı $640 \text{ W/m}^2\cdot\text{K}$ 'dir. Etkinlik-NTU yöntemini kullanarak beklenen ısıtmayı gerçekleştirmek için gerekli ısı değiştirici boyunu bulunuz.

ÇÖZÜM Su karşı akışı, çift borulu bir ısı değiştiricide su ile ısıtılacaktır. e-NTU yöntemini kullanarak gerekli ısı değiştirici boyunu

Çözümleme Etkinlik-NTU yönteminde ilk önce sıcak ve soğuk akışkanların ortalama ortalama sıcaklığı bulunur,

$$C_h = \dot{m}_h c_{ph} = (2 \text{ kg/s}) (4.31 \text{ kJ/kg}\cdot\text{K}) = 8.62 \text{ kW/K}$$

$$C_c = \dot{m}_c c_{pc} = (1.2 \text{ kg/s}) (4.18 \text{ kJ/kg}\cdot\text{K}) = 5.02 \text{ kW/K}$$

ve bunların küçük olanı,

$$C_{\min} = C_c = 5.02 \text{ kW/K}$$

olarak belirlenir;

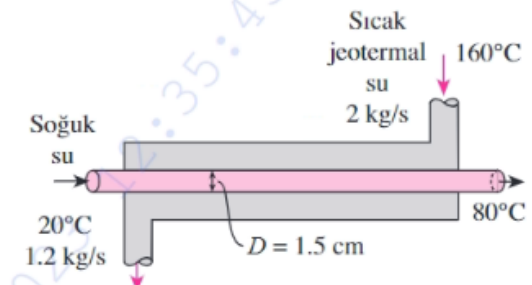
$$c = C_{\min}/C_{\max} = 5.02/8.62 = 0.582$$

olur. Böylece maksimum ısı transfer hızı Eş. 11-32 'den,

$$\begin{aligned} \dot{Q}_{\max} &= C_{\min}(T_{h,giren} - T_{c,giren}) \\ &= (5.02 \text{ kW/K})(160 - 20)^{\circ}\text{C} \\ &= 702.8 \text{ kW} \end{aligned}$$

olarak bulunur. Yani bu ısı değiştiricide olabilecek maksimum ısı transfer hızı 702.8 kW 'dır. Isı transferinin gerçek hızı,

$$\begin{aligned} \dot{Q} &= [\dot{m}c_p(T_{\text{çikan}} - T_{\text{giren}})]_{\text{su}} = (1.2 \text{ kg/s})(4.18 \text{ kJ/kg}\cdot\text{K})(80 - 20)^{\circ}\text{C} \\ &= 301.0 \text{ kW} \end{aligned}$$



ŞEKİL 11-29

Örnek 11-8 için şematik gösterim.

olur. Dolayısıyla ısı değiştiricinin etkinliği,

$$\varepsilon = \frac{\dot{Q}}{\dot{Q}_{\text{maks}}} = \frac{301.0 \text{ kW}}{702.8 \text{ kW}} = 0.428$$

olur. Bu karşıt akışlı ısı değiştiricinin NTU değeri, bilinen etkinlik ile Şek. 11-26b 'den veya Tablo 11-5 'teki uygun bağıntıdan bulunabilir. Daha duyarlı olması bakımından son yaklaşım seçilir:

$$\text{NTU} = \frac{1}{c - 1} \ln \left(\frac{\varepsilon - 1}{\varepsilon c - 1} \right) = \frac{1}{0.582 - 1} \ln \left(\frac{0.428 - 1}{0.428 \times 0.582 - 1} \right) = 0.651$$

Bu durumda ısı transfer yüzey alanı,

$$\text{NTU} = \frac{UA_s}{C_{\min}} \longrightarrow A_s = \frac{\text{NTU } C_{\min}}{U} = \frac{(0.651)(5020 \text{ W/K})}{640 \text{ W/m}^2 \cdot \text{K}} = 5.11 \text{ m}^2$$

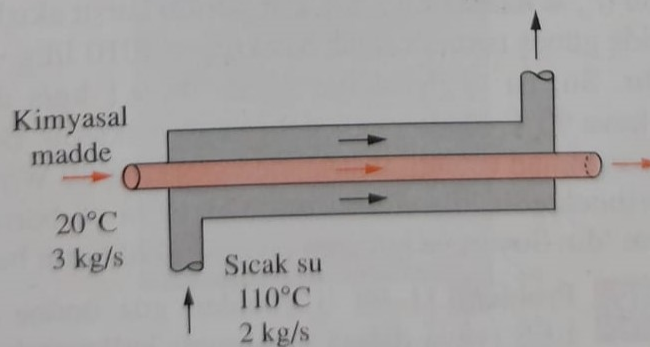
olur. Bu çok büyük yüzey alanını sağlamak için boru uzunluğu,

$$A_s = \pi DL \longrightarrow L = \frac{A_s}{\pi D} = \frac{5.11 \text{ m}^2}{\pi(0.015 \text{ m})} = \mathbf{108 \text{ m}}$$

olmalıdır.

İrdeleme Aynı sonucun etkinlik-NTU yöntemiyle sistematik ve basit bir yolla, pratik olarak elde edildiğine dikkat edilmelidir.

11-93 İnce duvarlı çift borulu paralel akışlı bir ısı değiştirici, özgül ısısı $1800 \text{ J/kg} \cdot ^\circ\text{C}$ olan bir kimyasal maddenin sıcak su ($c_p = 4180 \text{ J/kg} \cdot ^\circ\text{C}$) ile ısıtılması için kullanılmaktadır. Su 110°C 'de 2 kg/s debi ile girerken, kimyasal madde 20°C 'de 3 kg/s debi ile girmektedir. İşı değiştiricinin ısı transfer yüzey alanı 7 m^2 ve toplam ısı transfer katsayısı $1200 \text{ W/m}^2 \cdot ^\circ\text{C}$ 'dir. Kimyasal maddenin ve suyun çıkış sıcaklıklarını bulunuz.



ŞEKİL P11-93

13-87 A chemical is heated by water in a heat exchanger. The mass flow rates and the inlet temperatures are given. The outlet temperatures of both fluids are to be determined.

Assumptions 1 Steady operating conditions exist. 2 The heat exchanger is well-insulated so that heat loss to the surroundings is negligible and thus heat transfer from the hot fluid is equal to the heat transfer to the cold fluid. 3 Changes in the kinetic and potential energies of fluid streams are negligible. 4 The thickness of the tube is negligible since tube is thin-walled. 5 The overall heat transfer coefficient is constant and uniform.

Properties The specific heats of the water and chemical are given to be 4.18 and 1.8 kJ/kg·°C, respectively.

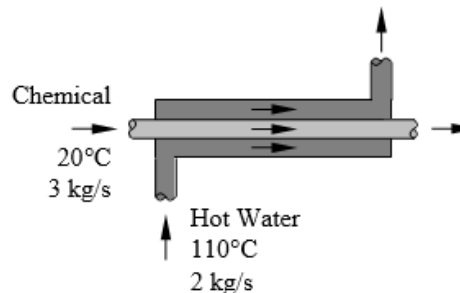
Analysis The heat capacity rates of the hot and cold fluids are

$$C_h = \dot{m}_h C_{ph} = (2 \text{ kg/s})(4.18 \text{ kJ/kg·°C}) = 8.36 \text{ kW/°C}$$

$$C_c = \dot{m}_c C_{pc} = (3 \text{ kg/s})(1.8 \text{ kJ/kg·°C}) = 5.40 \text{ kW/°C}$$

Therefore, $C_{\min} = C_c = 5.4 \text{ kW/°C}$

and $C = \frac{C_{\min}}{C_{\max}} = \frac{5.40}{8.36} = 0.646$



Then the maximum heat transfer rate becomes

$$\dot{Q}_{\max} = C_{\min}(T_{h,in} - T_{c,in}) = (5.4 \text{ kW/°C})(110°C - 20°C) = 486 \text{ kW}$$

The NTU of this heat exchanger is

$$NTU = \frac{UA_e}{C_{\min}} = \frac{(1.2 \text{ kW/m}^2 \cdot \text{°C})(7 \text{ m}^2)}{5.4 \text{ kW/°C}} = 1.556$$

Then the effectiveness of this parallel-flow heat exchanger corresponding to $C = 0.646$ and $NTU=1.556$ is determined from

$$\epsilon = \frac{1 - \exp[-NTU(1+C)]}{1+C} = \frac{1 - \exp[-1.556(1+0.646)]}{1+0.646} = 0.56$$

Then the actual rate of heat transfer rate becomes

$$\dot{Q} = \epsilon \dot{Q}_{\max} = (0.56)(486 \text{ kW}) = 272.2 \text{ kW}$$

Finally, the outlet temperatures of the cold and hot fluid streams are determined to be

$$\dot{Q} = C_c(T_{c,out} - T_{c,in}) \longrightarrow T_{c,out} = T_{c,in} + \frac{\dot{Q}}{C_c} = 20°C + \frac{272.2 \text{ kW}}{5.4 \text{ kW/°C}} = 70.4°C$$

$$\dot{Q} = C_h(T_{h,out} - T_{h,in}) \longrightarrow T_{h,out} = T_{h,in} - \frac{\dot{Q}}{C_h} = 110°C - \frac{272.2 \text{ kW}}{8.36 \text{ kW/°C}} = 77.4°C$$



İyi çalışmalar.

